

Starkniederschlagshöhen und -spenden gemäß KOSTRA-DWD-2010R

Auswertungszeitraum von 1951 - 2010, Januar - Dezember

Rasterfeld: 11054

Zeile: 11

Spalte: 54

Seite: 1/2

| Dauerstufe D | Wiederkehrzeit T | | | | | | | | | | | | | | | | | | |
|--------------|------------------|------|------------|------|------------|------|------------|------|------------|------|------------|------|------------|------|------------|------|------------|------|------------|
| | 1 a | | 2 a | | 3 a | | 5 a | | 10 a | | 20 a | | 30 a | | 50 a | | 100 a | | |
| min | Std | mm | l / (s ha) | mm | l / (s ha) | mm | l / (s ha) | mm | l / (s ha) | mm | l / (s ha) | mm | l / (s ha) | mm | l / (s ha) | mm | l / (s ha) | mm | l / (s ha) |
| 5 | | 4,3 | 143,3 | 5,4 | 180,0 | 6,0 | 200,0 | 6,8 | 226,7 | 7,9 | 263,3 | 9,0 | 300,0 | 9,7 | 323,3 | 10,5 | 350,0 | 11,6 | 386,7 |
| 10 | | 6,9 | 115,0 | 8,6 | 143,3 | 9,5 | 158,3 | 10,7 | 178,3 | 12,4 | 206,7 | 14,0 | 233,3 | 15,0 | 250,0 | 16,2 | 270,0 | 17,8 | 296,7 |
| 15 | | 8,7 | 96,7 | 10,8 | 120,0 | 12,0 | 133,3 | 13,5 | 150,0 | 15,6 | 173,3 | 17,7 | 196,7 | 18,9 | 210,0 | 20,4 | 226,7 | 22,5 | 250,0 |
| 20 | | 10,0 | 83,3 | 12,4 | 103,3 | 13,9 | 115,8 | 15,7 | 130,8 | 18,1 | 150,8 | 20,6 | 171,7 | 22,0 | 183,3 | 23,8 | 198,3 | 26,3 | 219,2 |
| 30 | | 11,7 | 65,0 | 14,8 | 82,2 | 16,6 | 92,2 | 18,9 | 105,0 | 22,0 | 122,2 | 25,1 | 139,4 | 27,0 | 150,0 | 29,3 | 162,8 | 32,4 | 180,0 |
| 45 | | 13,2 | 48,9 | 17,1 | 63,3 | 19,4 | 71,9 | 22,3 | 82,6 | 26,3 | 97,4 | 30,2 | 111,9 | 32,5 | 120,4 | 35,5 | 131,5 | 39,4 | 145,9 |
| 60 | | 14,1 | 39,2 | 18,8 | 52,2 | 21,5 | 59,7 | 24,9 | 69,2 | 29,6 | 82,2 | 34,3 | 95,3 | 37,0 | 102,8 | 40,4 | 112,2 | 45,1 | 125,3 |
| 90 | | 15,5 | 28,7 | 20,4 | 37,8 | 23,3 | 43,1 | 26,9 | 49,8 | 31,9 | 59,1 | 36,8 | 68,1 | 39,7 | 73,5 | 43,4 | 80,4 | 48,3 | 89,4 |
| 120 | 2 | 16,5 | 22,9 | 21,7 | 30,1 | 24,7 | 34,3 | 28,5 | 39,6 | 33,6 | 46,7 | 38,8 | 53,9 | 41,8 | 58,1 | 45,6 | 63,3 | 50,8 | 70,6 |
| 180 | 3 | 18,1 | 16,8 | 23,6 | 21,9 | 26,8 | 24,8 | 30,8 | 28,5 | 36,3 | 33,6 | 41,7 | 38,6 | 44,9 | 41,6 | 48,9 | 45,3 | 54,4 | 50,4 |
| 240 | 4 | 19,3 | 13,4 | 25,0 | 17,4 | 28,4 | 19,7 | 32,6 | 22,6 | 38,3 | 26,6 | 43,9 | 30,5 | 47,3 | 32,8 | 51,5 | 35,8 | 57,2 | 39,7 |
| 360 | 6 | 21,2 | 9,8 | 27,2 | 12,6 | 30,8 | 14,3 | 35,2 | 16,3 | 41,3 | 19,1 | 47,3 | 21,9 | 50,8 | 23,5 | 55,3 | 25,6 | 61,3 | 28,4 |
| 540 | 9 | 23,3 | 7,2 | 29,7 | 9,2 | 33,4 | 10,3 | 38,1 | 11,8 | 44,5 | 13,7 | 50,9 | 15,7 | 54,6 | 16,9 | 59,4 | 18,3 | 65,8 | 20,3 |
| 720 | 12 | 24,8 | 5,7 | 31,5 | 7,3 | 35,4 | 8,2 | 40,3 | 9,3 | 47,0 | 10,9 | 53,6 | 12,4 | 57,5 | 13,3 | 62,5 | 14,5 | 69,1 | 16,0 |
| 1080 | 18 | 27,3 | 4,2 | 34,3 | 5,3 | 38,4 | 5,9 | 43,7 | 6,7 | 50,7 | 7,8 | 57,8 | 8,9 | 61,9 | 9,6 | 67,1 | 10,4 | 74,2 | 11,5 |
| 1440 | 24 | 29,1 | 3,4 | 36,5 | 4,2 | 40,8 | 4,7 | 46,2 | 5,3 | 53,6 | 6,2 | 60,9 | 7,0 | 65,2 | 7,5 | 70,6 | 8,2 | 78,0 | 9,0 |
| 2880 | 48 | 36,5 | 2,1 | 44,7 | 2,6 | 49,5 | 2,9 | 55,5 | 3,2 | 63,6 | 3,7 | 71,8 | 4,2 | 76,6 | 4,4 | 82,6 | 4,8 | 90,8 | 5,3 |
| 4320 | 72 | 41,7 | 1,6 | 50,3 | 1,9 | 55,4 | 2,1 | 61,8 | 2,4 | 70,4 | 2,7 | 79,0 | 3,0 | 84,1 | 3,2 | 90,5 | 3,5 | 99,1 | 3,8 |

Angaben in mm: Bemessungsniederschlagswerte h(n)

Angaben in l / (s ha): Regenspende R(n) mit $R(n) = h(n) \times 1,666667 / D[\text{min}]$

Toleranzbereiche:

+/- 10 % für $1 \text{ a} \leq T \leq 5 \text{ a}$

+/- 15 % für $5 \text{ a} < T \leq 50 \text{ a}$

+/- 20 % für $50 \text{ a} < T \leq 100 \text{ a}$

Datenbasis: KOSTRA-DWD-2010R des Deutschen Wetterdienstes. Die Regenspende wurde auf Basis des Bemessungsniederschlags zur jeweiligen Andauer berechnet.

Für die Richtigkeit und Aktualität der Angaben wird keine Gewähr übernommen. Erstellt 07/2022.

Starkniederschlagshöhen und -spenden gemäß KOSTRA-DWD-2010R

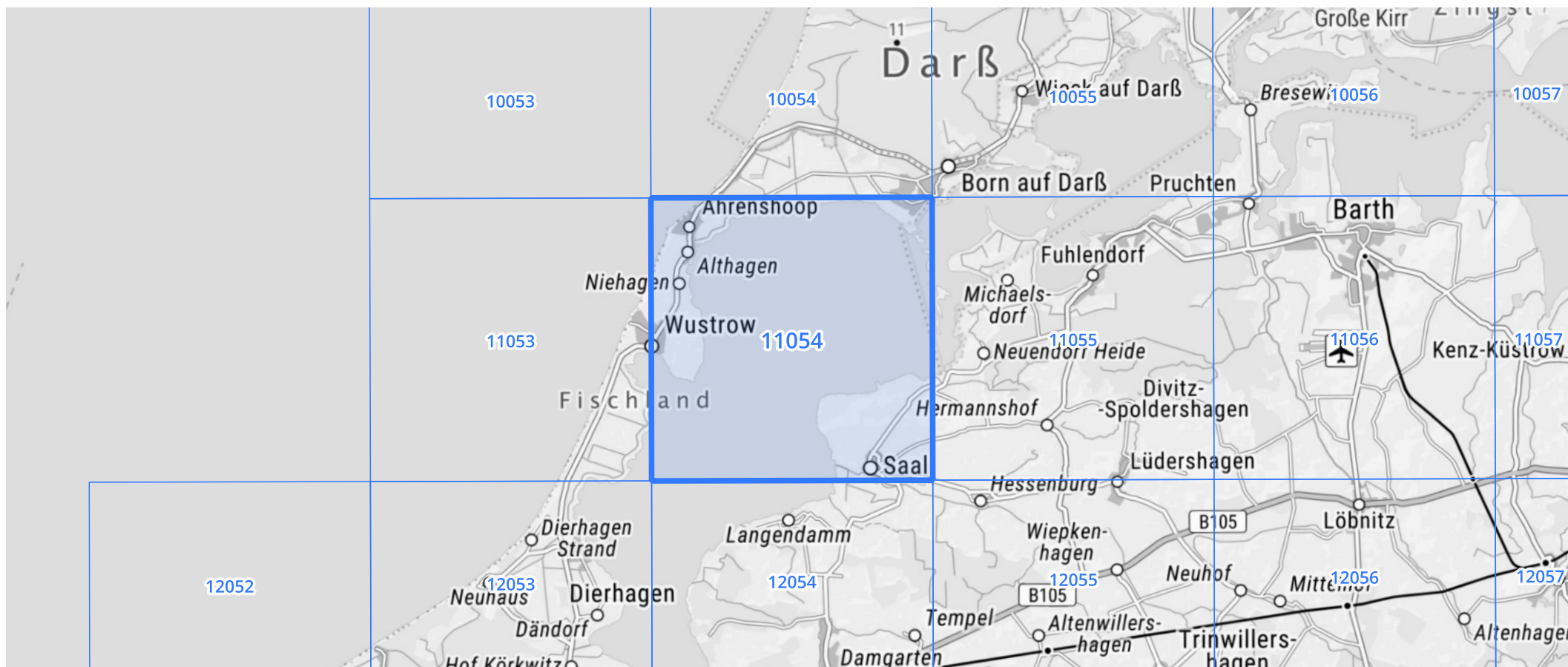
Auswertungszeitraum von 1951 - 2010, Januar - Dezember

Rasterfeld: 11054

Zeile: 11

Spalte: 54

Seite: 2/2



Quelle Rasterdaten: KOSTRA-DWD-2010R des Deutschen Wetterdienstes.

Kartendarstellung: © Bundesamt für Kartographie und Geodäsie (2022), Datenquellen: https://sgx.geodatenzentrum.de/web_public/gdz/datenquellen/Datenquellen_TopPlusOpen.html

Für die Richtigkeit und Aktualität der Angaben wird keine Gewähr übernommen. Erstellt 07/2022.